

信州大学工学部 正員 川上 哲  
同 学生員 ○ 阿部 広史

1. 概 論 不飽和粘土の力学的性状に関する一連の研究を行なってきているが、今回は不飽和粘土せん断時の体積変化について考察し、不飽和土の圧密においてサクションの解放時に生ずる、collapseによる沈下がせん断にも生ずるのではないかという観点から実験を行なっている。不飽和土の有効応力式について、collapseの面から疑問が投ぜられていれば、突き固め曲線の湿側と乾燥側の土粒子構造の差によりcollapseが生ずるものと考えられることから、それぞれの側の供試体の三軸試験中の間げき比の変化を追跡している。

表 - 1

比 重	コンシスタンシー			粒 度			三 軸 標 分 数			統 一分 類
	$W_L$	$W_P$	$I_p$	最 大 粒 径 mm	砂 %	シルト %	粘 土 %			
2.73	39	30	9	20	25	55	20	シルト質 粘土ローム	ML	

突き固め曲線(図-1)において一般にその土粒子構造は dry side でランダム構造、wet side で不完全配向構造をなすものと考えられている。wet side ではほぼ飽和しているものをせん断すると、そこより完全な配向構造に近づく段階で破壊していくと考えられるが、dry side のものを soak させ suction を施すと飽和土としてせん断試験を行なう場合もランダム構造 → 不完全配向構造 → 配向構造へと移っていく段階でせん断されると考えられる。この場合は通常のせん断破壊の他に collapse も含んだ状態となるため、飽和土の排水試験から得られる等間げき比曲線とは当然異なるものから、飽和土のそれに近づこうとする傾向が見られるはずである。かかる予想のもとに以下の実験を行なっている。

2. 実験の方法 用いた試料は表-1に示すようなシルト質のものである。実験は図-1の A に属する供試体正側圧  $0.25 \text{ kg/cm}^2$ 、浸透圧  $0.15 \text{ kg/cm}^2$  で透水して後、B.P. =  $2.5 \text{ kg/cm}^2$  のもとで応力制御型排水せん断試験を行なう。B の供試体も A と同様の方法で行なうが、供試体作成時  $Sr \div 64\%$  のものが透水、B.P. により  $Sr \div 87\%$  に増大する。

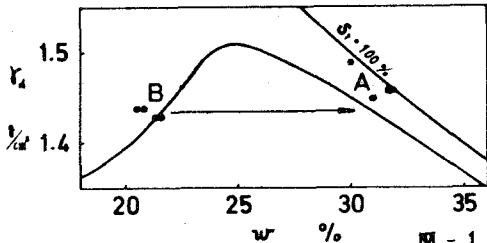


図 - 1

3. 実験結果 排水試験の結果から描いた等間げき比曲線を図-2に示し、A の結果を実線で、B の結果を破線で描いてある。B は飽和させることを目的として B.P. を作用させているものの、最終飽和度は約 87% で、多少のサクションの残留は考慮せねばならない。A、B の破壊線は一致していないが、これが本質的に一致しない性質のものかどうか今後さらに多くの実験を行なわねば結論は下せないが、B では間げき水圧に B.P. を加えて水圧による有効応力を示しているので、サクションが多少存在したとすれば、このすればせばまとくることになる。しかしサクションによる有効応力増は  $Sr \div 87\%$  ということからわずかと推測され、実験誤差を考慮しても、一定応力状態に一定間げき比が対応するということは認めがたい。飽和粘土については示された有効応力原理が不飽和粘土とは成り立たないことになるが、これらの關係を明るかにするためせん断面上直応力と間げき比の関係を

図-3に示す。A, Bの排水試験中に直応力 $\sigma'$ は増大し、間げき比 $e$ は減少する。  
 $S_r = 64\%$ で締め固められ透水により $S_r = 87\%$ 迄含水比を高められたBでは、Aの飽和破壊状態に向かってせん断時の体積変化が進行していることと図-3より認められる。しかし破壊状態線が一致する迄にはかなりのへだたりが見られる。このような状態は、Raessが示した限界状態線を各飽和度ごとに設定し、限界状態の平面を考えれば一応説明できうるものとなる。

4. 結び せん断中の不飽和土のサクションを開放し、さらに破壊までせん断を続いた場合の結果を、せん断面上直応力-間げき比の關係と今回の結果と検照した場合にも限界状態面正考入することがより察知され、さらに実験の積み重ねによりこの真正追求したいと考える。

なお本研究には昭和46年度科研費の補助をうけたことを記し、謝意を表したい。

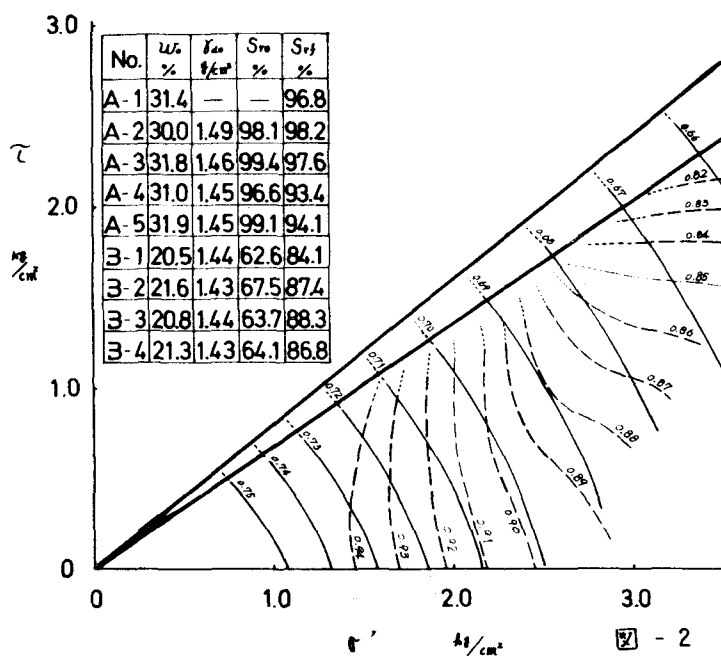


図-2

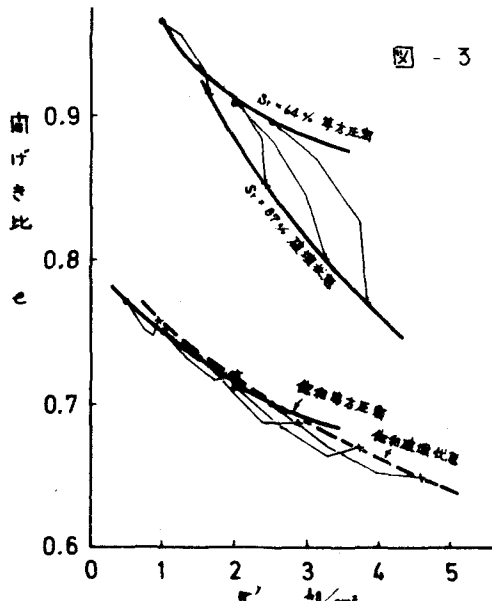


図-3